

日本大学 理工学部 正員 柳沼善明
北田勇輔

1. はじめに

鉄筋コンクリート部材の設計に終局強度理論を導入することにより、部材の使用限界状態に対する検討が重要になると思われる。また、高強度のコンクリートや鉄筋の使用により、部材はかなり軽く、幅、高さともに小さくなる可能性がある。したがって、変形やひびわれ等に対する検討がますます重要であると思われる。本研究は、曲げをうける鉄筋コンクリートばり（以下はりと略す）のたわみ計算方法について検討したものである。

2. 供試体

実験に用いたはりは単鉄筋長方形ばりで、図-1のように二点載荷で静的に曲げ破壊させた。はりはせん断スパン比の/a = 6で一定とし、寸法を表-1に示した。載荷点幅の異なるはりは、各タイプごとに鉄筋比を約1.25%から2.5%まで4種に変化させた。スターラップ

はD10を10cm間隔に支点と載荷点との間にのみ配置した。使用した鉄筋の材質はすべてSD30であった。

3. たわみの計算方法

次のような仮定のもとでたわみの計算を行なった。クラック発生前はコンクリートの引張抵抗を考慮し、クラック発生から破壊までは引張抵抗を無視した。コンクリートの応力分布は圧縮、引張ともに二次曲線と直線との組み合せとした。たわみの計算は、はり断面に曲げ剛性K (= EI) が一定でないものとして求めた。

コンクリートの応力分布の二次曲線を、圧縮側を $\sigma_c = a_c \varepsilon^2 + b_c \varepsilon$ 、引張側を $\sigma_{ct} = a_{ct} \varepsilon^2 + b_{ct} \varepsilon$ とすると計算式は次のようになる。

(1) クラック発生までのK, M値

$$M_c = b \left\{ \frac{a_c}{4} \left(\frac{\varepsilon_{tu}}{h-x} \right)^2 x^4 + \frac{b_c}{3} \left(\frac{\varepsilon_{tu}}{h-x} \right) x^3 \right\} + As E_s \varepsilon_s (d-x)$$

$$+ b \left\{ \frac{a_{ct}}{4} \varepsilon_{tu}^2 + \frac{b_{ct}}{3} \varepsilon_{tu} \right\} (h-x)^2 + \frac{1}{2} b \sigma_{ct} (h-x)^2 (1-\alpha^2) \quad \dots \dots (1)$$

$$K_c = \frac{M_c (h-x)}{\varepsilon_{tu}} \quad \dots \dots (2) \quad \text{ただし } \alpha = \frac{\varepsilon_{tu}}{\varepsilon_{tu}}$$

(2) クラック発生後

$$M = b \left\{ \frac{a_c}{4} \varepsilon_{cy}^2 x_1^2 + \frac{b_c}{3} \varepsilon_{cy} x_1^2 \right\} + \frac{1}{2} \sigma_{cy} b (x^2 - x_1^2) \quad \dots \dots (3)$$

$$K = \frac{M x}{\varepsilon_c} \quad \dots \dots (4) \quad \text{ただし } x_1 = \frac{\varepsilon_{cy}}{\varepsilon_c} x$$

ここに、Cはコンクリートのうけもつ圧縮力、Tcはコンクリートのうけもつ引張力、Tsは鉄筋のうけもつ引張力、dは有効高さ、bははりの幅、hははりの高さ、xは中立軸までの距離、

Asは鉄筋量、Esは鉄筋の弾性係数、σcyはコンクリートの圧縮強度、σctはコンクリートの引張強度、εcはコンクリートの圧縮ひずみ、εcyはコンクリートの最大圧縮応力達成時の圧縮ひずみ、εtuはコンクリートの最

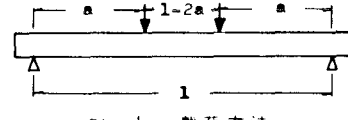


図-1 載荷方法

表-1 寸法と強度

Type	a cm	1-2a cm	l cm	b cm	d cm	σ_{cy} kg/cm ²	σ_{ct} kg/cm ²
A	120	40	280	15	20	209	16.0
B	120	80	320	15	20	212	17.0
C	120	120	360	15	20	258	17.9

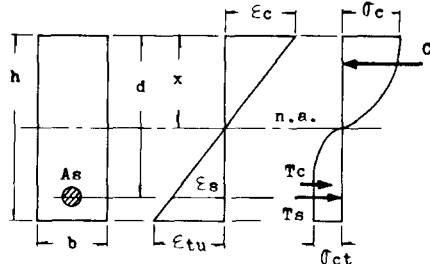


図-2 引張抵抗を考慮

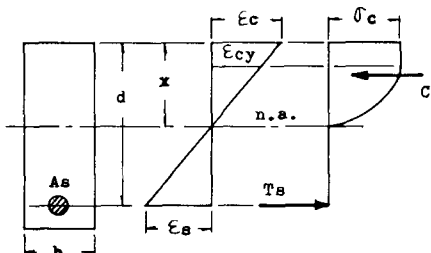


図-3 引張抵抗を無視

大引張応力度時の引張ひずみ, δ_{tu} はコンクリートの引張極限ひずみである。

4. 結果と考察

図-4に K 値の計算値と実測値との比較を示した。 K 値は、クラック発生後急激に減少し、鉄筋の降伏後も急激に減少している。図-5にたわみの計算値と実測値との比較を示した。クラック発生までコンクリートの引張抵抗を考慮した計算値は、無視した計算値よりもクラック発生の附近でたわみの実測値と良く一致している。クラック発生時のモーメントとたわみの計算値と実測値との比較を図-6, 7に示した。クラック発生時のモーメントの計算値は実測値よりも大きな値を示している。これは、コンクリートの引張側の応力分布の仮定によるものと思われる。図-8, 9に M_y , δ_y の計算値と実測値との比較を示した。 M_y の計算値は 10 % 以内にあり、 δ_y の計算値は 15 % 以内に分布している。

5. おわりに

載荷点幅の異なるばかりを用いて実験を行なった結果、はりのクラック発生時のモーメント、たわみの計算値はばらつきが大きくなっているが、はりの降伏モーメント、ならびに降伏時のたわみの計算値は実測値と良く一致している。

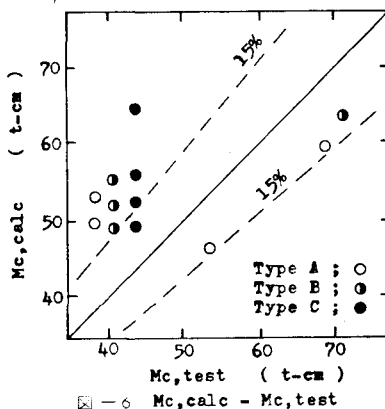


図-6 $Mc, calc - Mc, test$

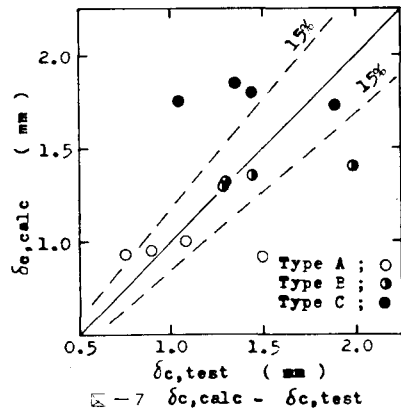


図-7 $\delta_c, calc - \delta_c, test$

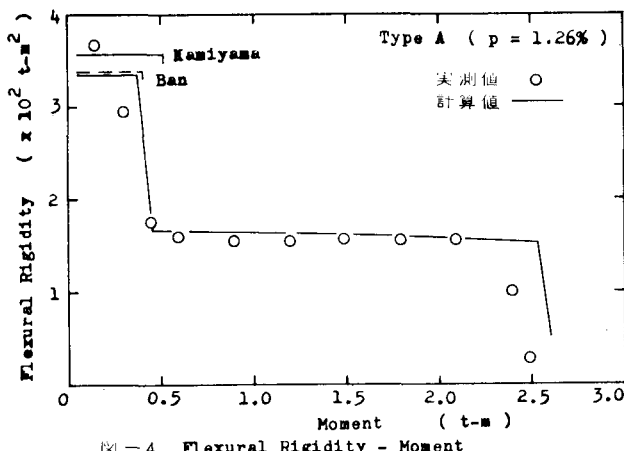


図-4 Flexural Rigidity - Moment

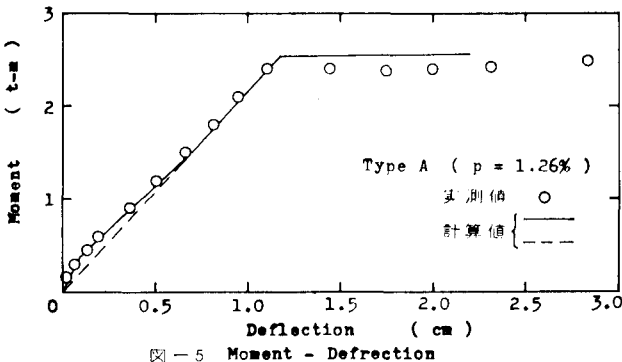


図-5 Moment - Deflection

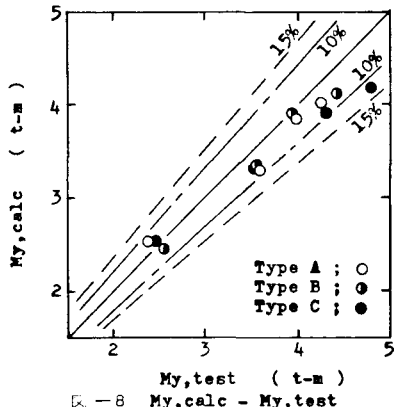


図-8 $My, calc - My, test$

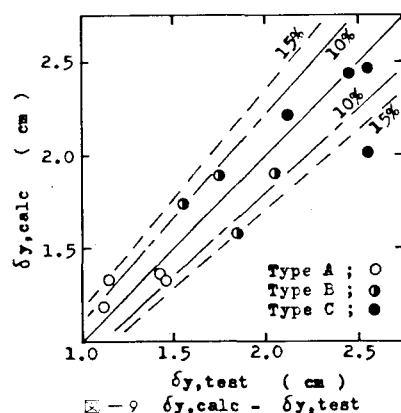


図-9 $\delta_y, calc - \delta_y, test$